

## The Impact of Effective Parameters on Muskingum-Cunge in Comparison with Dynamic Routing

M. Fotuhi<sup>1</sup> and M. F. Maghrebi<sup>2\*</sup>

### Abstract

River stage or flow rates are required for the design and evaluation of hydraulic structures and water resources management systems. Accordingly flood routing techniques are used to predict the river stage and flow rates while flood wave propagates along the river. The aim of this paper is to compare the Muskingum-Cunge method with constant and variable parameters with Dynamic flow routing. The results showed that the errors in application of Muskingum-Cunge method in rivers with low slope are high and therefore some concerns should be taken when using Muskingum-Cunge in low slopes rivers. Sensitivity analysis showed that the most dominant parameters on the peak outflow are orderly the peak inflow rate, the roughness coefficient, and the bed slope. Also, the most important parameters on peak timing of outflow are orderly the channel length and the roughness coefficient.

بررسی اثر پارامترهای مؤثر بر روش ماسکینگام-کانز در مقایسه با روش روندیابی دینامیکی

محمود فتوحی<sup>۱</sup> و محمود فغفور مغربی<sup>۲\*</sup>

### چکیده

یکی از موارد ضروری برای طراحی و ارزیابی سازه‌های هیدرولیکی و نیز برنامه‌ریزی منابع آب، پیش‌بینی شدت جریان و تراز آب در رودخانه است. برای این منظور از روش‌های روندیابی برای تخمین تراز آب و شدت جریان هنگام حرکت موج سیالاب در طول رودخانه استفاده می‌شود. در این مطالعه روش روندیابی دینامیکی و روش ماسکینگام-کانز با پارامترهای ثابت و متغیر مورد مقایسه واقع شده‌اند. نتایج این مقاله نشان می‌دهد که اختلاف دو روش در شبکهای کم بیشتر است و بنابراین در کاربرد روش ماسکینگام-کانز در شبکهای کم باید احتیاط نمود. انجام تحلیل حساسیت روی پارامترهای مدل دینامیکی نشان می‌دهد که مهمترین عوامل مؤثر روی اوج هیدروگراف خروجی به ترتیب شامل دبی اوج هیدروگراف ورودی، خریب زیری و شبکه بستر کanal می‌باشد. همچنین پارامترهای مهم مؤثر بر زمان وقوع دبی اوج هیدروگراف خروجی به ترتیب شامل طول کanal و خریب زیری هستند.

**کلمات کلیدی:** جریان غیردائمی، معادلات سنت-ونان، مدل پریسمن، روش ماسکینگام-کانز.

**Keywords:** Unsteady Flow, St. Venant Equations, Priestman Model, Muskingum-Cunge method.

Received: January 18, 2009

Accepted: December 8, 2010

تاریخ دریافت مقاله: ۲۹ دی ۱۳۸۷

تاریخ پذیرش مقاله: ۱۷ آذر ۱۳۸۹

1- PhD candidate in Hydraulics, Civil Engineering Department, Ferdowsi University of Mashhad, Iran, Email: mahmood\_fotuhi@yahoo.com  
2- Associate professor, Civil Engineering Department, Ferdowsi University of Mashhad, Iran, Email: maghrebi@ferdowsi.um.ac.ir

\*- Corresponding Author

۱- دانشجوی دکتری عمران-آب، دانشکده مهندسی، دانشگاه فردوسی مشهد، ایران.

۲- دانشیار گروه عمران، دانشکده مهندسی، دانشگاه فردوسی مشهد، ایران

\*- نویسنده مسئول

## - مقدمه

می‌شود. اساس روش‌های روندیابی متمرکز، حل معادله پیوستگی به صورت متمرکز بر روی زمان بوده و در آنها به جای استفاده از معادله مومنتوم از رابطه ذخیره در بازه رودخانه استفاده می‌شود. روش ماسکینگام جزء روش روندیابی متمرکز به شمار می‌رود.

برای ارزیابی پارامترهای روش ماسکینگام به عنوان یک روش روندیابی متمرکز، در روش ماسکینگام-کانثر برآسم خصوصیات بستر جریان نظری شیب، زبری و ... محاسبه می‌شود. بنابراین چون روش ماسکینگام-کانثر از ژئومورفولوژی و فیزیک جریان نیز بهره می‌گیرد می‌توان آن را جزو روش‌های روندیابی نیمه گسترده طبقه‌بندی نمود (Nourani and Mano, 2007). از طرفی چون روش ماسکینگام-کانثر از روش ماسکینگام بدست آمده، نسبت به روش روندیابی گسترده ساده‌تر بوده و در آن مشخصات تنها در انتهای بازه کanal تعیین می‌شود. هدف این تحقیق بررسی نقش پارامترهای موثر در روش ماسکینگام-کانثر در مقایسه با روش روندیابی دینامیکی می‌باشد. برای رسیدن به این هدف، در ادامه روش‌های روندیابی دینامیکی، ماسکینگام و ماسکینگام - کانثر توضیح داده می‌شوند. سپس مقایسه بین روش روندیابی دینامیکی و ماسکینگام - کانثر در قالب شکل‌ها و جدول‌های انجام شده و روی آنها بحث می‌گردد. بعد از انجام تحلیل حساسیت پارامترهای روندیابی دینامیکی، نتایج این تحقیق و پیشنهادات ادامه کار آورده می‌شوند.

## ۲- ساختار کلی مدل روندیابی دینامیکی

حرکت موج سیالاب در رودخانه‌ها از نوع جریان غیر دائمی متغیر تدریجی می‌باشد. در جریانهای متغیر تدریجی شتاب قائم ناچیز و قابل صرفنظر کردن بوده، ولی اثر اصطکاک کanal قابل ملاحظه بوده و می‌بایست در محاسبات مد نظر قرار گیرد. معادلات حاکم بر جریانهای غیر دائمی متغیر تدریجی، شامل معادلات پیوستگی و اندازه حرکت هستند که به معادلات سنت-ونان معروف می‌باشند. در به دست آوردن این معادلات از فرض‌های زیر استفاده شده است (Chow et al., 1988):

- ۱- جریان یک بعدی است، بدین معنی که سرعت فقط در راستای طولی کanal تغییر می‌کند.
- ۲- تغییرات فشار به صورت هیدرواستاتیکی است و از شتاب قائم ذرات آب صرف‌نظر می‌شود.
- ۳- شیب کف کanal نسبتاً کم بوده و بستر کanal ثابت در نظر گرفته می‌شود.

سیالاب ممکن است به دنبال بارش‌های کوتاه مدت با شدت زیاد و یا بارش‌های بلند مدت با شدت کم شکل بگیرد. هنگام ورود سیالاب به بازه مشخصی از یک رودخانه بر اثر اصطکاک کف و جداره رودخانه و ذخیره شدن بخشی از حجم جریان، تغییراتی در شکل موج به وجود می‌آید. این تغییرات می‌تواند شامل فروکش کردن دبی اوج و پخشیدگی هیدروگراف سیل باشد. بررسی تغییرات به وجود آمده در موج سیالاب در طی حرکت موج در مسیر رودخانه، روندیابی سیالاب نامیده می‌شود. چنین پیش‌بینی‌هایی در برنامه‌ریزی‌های لازم برای توسعه سیستم‌های منابع آب به کار می‌آید.

روش‌های روندیابی سیالاب را به سه گروه روش‌های روندیابی گسترده، روندیابی نیمه گسترده و روندیابی متمرکز تقسیم‌بندی می‌کنند (Nourani and Mano, 2007). روش‌های گسترده روندیابی سیالاب بر پایه حل همزمان معادلات سنت-ونان بنا نهاده شده‌اند. در این روش‌ها خصوصیات مسیر نظری شیب کف، ضربی زبری و عرض کف در نظر گرفته می‌شوند و می‌توان مشخصات جریان شامل دبی، عمق و سرعت را در هر نقطه دلخواه از مسیر جریان و در زمانهای مختلف به دست آورد. این روش‌ها شامل روش روندیابی موج دینامیکی، موج پخشیدگی و موج سینماتیک می‌باشند. در روش روندیابی دینامیکی معادلات پیوستگی و اندازه حرکت به طور کامل مورد استفاده قرار می‌گیرند. معادله دینامیکی جریان از نظر دارا بودن تعداد ترم‌های ظاهر شده، دارای بیشترین تعداد است. این ترم‌ها شامل شتاب لحظه‌ای، شتاب جابجایی، ترم گرادیان فشار، شیب خط انرژی و شیب بستر کanal می‌باشند. در روش‌های روندیابی پخشیدگی و روندیابی سینماتیک معادلات سنت-ونان با اعمال فرضیاتی و حذف برخی عبارات، معادله اندازه حرکت ساده شده و لذا این روش‌ها تقریبی می‌باشند. در روندیابی پخشیدگی، عبارات اینرسی شامل شتاب لحظه‌ای و شتاب جابجایی از معادله اندازه حرکت حذف می‌شوند. در روندیابی سینماتیک علاوه بر حذف جملات اینرسی، ترم تغییرات فشار هیدرواستاتیک نیز از معادله اندازه حرکت حذف شده و فقط عبارات شیب خط انرژی و شیب بستر کanal مورد استفاده قرار می‌گیرند.

در روش‌های روندیابی متمرکز نه تنها مشخصات مسیر در نظر گرفته نمی‌شوند، بلکه مشخصات جریان تنها در انتهای بازه رودخانه قابل محاسبه می‌باشند. به عبارت دیگر در روش‌های روندیابی متمرکز فقط به تغییرات زمانی مشخصات در ابتدا و انتهای بازه کanal توجه

دراین روابط،  $i$  و  $j$  به ترتیب گام‌های مکانی و زمانی و  $\theta$  پارامتر وزنی است که بین صفر و یک متغیر می‌باشد.

از مسائل مهم در استفاده از مدل‌های تفاضل محدود، پایداری و دقت مدل می‌باشد. برای پایداری مدل لازم است که  $\theta$  در محدوده  $1 \leq \theta \leq 5/4$  باشد. با افزایش مقدار  $\theta$  از  $5/4$  به سمت یک، موج محاسبه شده پخش‌تر می‌شود و به ازاء مقدار نزدیک به  $5/4$  ضمن حفظ پایداری، شکل موج نیز حفظ می‌شود. بنابراین به عنوان بهترین مقدار برای این پارامتر عدد  $6/55-0$  پیشنهاد شده است (Chow et al., 1988). در این تحقیق مقدار  $6/5$  برای  $\theta$  در نظر گرفته شده است.

نظیر هر معادله حاکمه جریان غیردائمی، برای حل معادلات سنت-ونان نیاز به شرایط اولیه و مرزی می‌باشد. شرایط اولیه وضعیت جریان قبل از ورود موج سیالاب می‌باشند و شرایط مرزی، ارتباط فیزیکی جریان را با مرزهای اطراف خود درنظر می‌گیرد. به عنوان شرایط اولیه یعنی مشخصات جریان در زمان صفر، فرض شده است که دبی پایه  $Q_0$  با عمق نرمال متناظر با آن در کanal جریان دارد.

در جریان‌های زیر بحرانی یک شرط مرزی در بالادست و یک شرط مرزی در پایین‌دست تعريف می‌شوند. شرط مرزی بالادست هیدروگراف ورودی به بازه تحت مطالعه دریک رودخانه است. برای تعیین شرط مرزی پایین‌دست، فرض شده است که در انتهای بازه تحت مطالعه، جریان به جریان نرمال تبدیل می‌شود و بنابراین در پایین‌دست، شرط مرزی به صورت  $S_f = S_0$  تعريف شده که در آن  $S_f$  شبیه خط انرژی و  $S_0$  شبیه کف رودخانه است.

توضیحات کامل درمورد چگونگی اعمال معادلات (۳) الی (۵) به معادلات (۱) و (۲) به همراه اعمال شرایط مرزی و اولیه در (Akan, 2006) آمده است. بر اساس موارد یاد شده، برنامه‌ای جهت روندیابی دینامیکی درفضای نرم‌افزار Matlab نوشته شده است.

### ۳- روش ماسکینگام و ماسکینگام-کانتر

روش ماسکینگام اولین بار در سال ۱۹۳۵ میلادی، توسط مک کارتی برای کنترل جریان سیالاب بر روی رودخانه ماسکینگام در اوهايو مورد مطالعه قرار گرفت (Singh, 1988). اصول این روش بر پایه ترکیب دو معادله می‌باشد که یکی رابطه پیوستگی را ارضا می‌کند و دیگری رابطه حجم ذخیره شده را در بازه بیان می‌کند. رابطه

۴- معادله مانینگ معادله مقاومت جریان می‌باشد.

۵- سیال غیر قابل تراکم بوده و چگالی سیال ثابت می‌باشد.

معادله پیوستگی بین دو مقطع به فاصله  $\Delta x$  از یکدیگر به شکل زیر بیان می‌شود که این رابطه بدون دبی جانبی ورودی و یا خروجی از کanal می‌باشد (Chow et al., 1988).

$$\frac{\partial Q}{\partial x} + \frac{\partial A}{\partial t} = 0 \quad (1)$$

معادله اندازه حرکت، با استفاده از قانون دوم نیوتون و بر اساس تغییرات اندازه حرکت بین دو مقطع به فاصله  $\Delta x$  از یکدیگر به صورت رابطه زیر بیان می‌گردد (Chow et al., 1988).

$$\frac{\partial Q}{\partial t} + \frac{\partial(Q^2/A)}{\partial x} + g A \frac{\partial y}{\partial x} - g A(S_0 - S_f) = 0 \quad (2)$$

که در روابط (۱) و (۲)،  $x$  راستای طولی جریان،  $t$  زمان،  $Q$  دبی جریان،  $A$  سطح مقطع جریان،  $S_f$  شبیه خط انرژی،  $S_0$  شبیه طولی مسیر جریان،  $y$  عمق جریان و  $g$  شتاب گرانش می‌باشند.

روش روندیابی دینامیکی سیالاب بر پایه حل همزمان معادلات سنت-ونان بنا نهاده شده است. روش‌های مختلف برای حل عددی معادلات سنت-ونان مانند روش مشخصه‌ها، روش اجزاء محدود و روش تفاضل محدود به کار گرفته شده است. از جمله روش‌های متداول روش تفاضل محدود چهار نقطه‌ای ضمنی (مدل پریسمن) می‌باشد (Akan, 2006). روش تفاضل محدود ضمنی شامل حل معادلات سنت-ونان از یک گام زمانی به گام زمانی دیگر می‌باشد که این عمل به طور همزمان برای تک‌تک گام‌های زمانی انجام می‌شود. در این روش،تابع کلی  $f$  و مشتقهای محدود توسط روابط زیر برآورد می‌شوند (Akan, 2006):

$$f = \theta \left( \frac{f_{i+1}^{j+1} + f_i^{j+1}}{2} \right) + (1-\theta) \left( \frac{f_{i+1}^j + f_i^j}{2} \right) \quad (3)$$

$$\frac{\partial f}{\partial t} = \frac{f_i^{j+1} - f_i^j + f_{i+1}^{j+1} - f_{i+1}^j}{2 \Delta t} \quad (4)$$

$$\frac{\partial f}{\partial x} = \frac{\theta(f_{i+1}^{j+1} - f_i^{j+1})}{\Delta x} + \frac{(1-\theta)(f_{i+1}^j - f_i^j)}{\Delta x} \quad (5)$$

$$X = 0.5 \left[ 1 - \frac{Q_0}{a T_0 S_0 \Delta x} \right] \quad (13)$$

$$K = \frac{L}{a} \quad (14)$$

که در روابط فوق  $Q_0$  دبی مرجع،  $T_0$  عرض سطح آب مربوط به دبی مرجع،  $S_0$  شیب طولی کanal،  $\Delta x$  طول بازه کanal و  $a$  سرعت موج سینماتیک می‌باشد. برای محاسبه سرعت موج سینماتیک به دو روش می‌توان عمل نمود. در روش اول فرض می‌شود که دبی  $Q$  و مساحت جریان  $A$  از طریق معادله زیر باهم رابطه دارند (Akan, 2006):

$$Q = e A^m \quad (15)$$

که در آن  $e$  و  $m$  ثابت هستند. اگر منحنی دبی-اصل در یک مقطع از کanal موجود باشد (داده‌های مشاهداتی  $Q$  و  $A$ ), می‌توان مقادیر ثابت  $e$  و  $m$  را با برآش دادن رابطه (15) به منحنی دبی-اصل محاسبه نمود. در صورتی که این داده‌ها موجود نباشد، با پذیرفتن رابطه جریان یکنواخت می‌توان مقادیر  $e$  و  $m$  را از روابط زیر بدست آورد:

$$Q = \left( \frac{k_n S_0^{1/2}}{n P^{2/3}} \right) A^{5/3} \quad (16)$$

$k_n$  در سیستم  $SI$  برابر یک و در سیستم انگلیسی برابر  $1/486$  می‌باشد. از روابط (15) و (16) واضح است که  $m = 5/3$  و

$$e = \frac{k_n S_0^{1/2}}{n P^{2/3}} \quad (17)$$

محیط خیس شده  $P$  با عمق جریان تغییر می‌کند و برای اکثر شکل‌های سطح مقطع، معادله (17) مقدار ثابتی را برای  $e$  ارائه نمی‌کند. در این شرایط مقدار ثابت  $P$  در معادله (17) استفاده می‌شود و در نتیجه این روش (روش اول) تقریبی خواهد بود. در این صورت مقدار سرعت موج سینماتیک از رابطه زیر بدست می‌آید:

$$a = m V_0 = \frac{5}{3} V_0 \quad (18)$$

در روش دوم که دقیق‌تر از روش اول می‌باشد، سرعت موج سینماتیک از رابطه (19) تعیین می‌شود که در آن  $dQ/dy$  شیب منحنی دبی-اصل است.

$$a = \frac{dQ}{dA} = \frac{1}{T} \frac{dQ}{dy} \quad (19)$$

با استفاده از رابطه مانینگ و قرار دادن مشخصات مقطع ذوزنقه‌ای در آن، مقدار سرعت موج از رابطه زیر قابل تعیین است.

پیوستگی و رابطه به کار رفته برای تعیین حجم ذخیره شده در بازه به صورت زیر تعریف می‌شوند (Singh, 1988):

$$\frac{dS}{dt} = I - Q \quad (6)$$

$$S = K[XI + (1-X)Q] \quad (7)$$

که در روابط فوق  $S$  حجم ذخیره شده در بازه مورد مطالعه در زمان  $t$ ,  $I$ ,  $Q$  دبی ورودی به بازه و  $X$  دبی خروجی از بازه می‌باشند. همچنین  $X$  و  $K$  پارامترهای روش ماسکینگام هستند که به صورت تابعی از مشخصات مسیر جریان و موج در نظر گرفته می‌شوند.

با نوشتен فرم تفاضل محدود روابط (6) و (7) و ترکیب آنها و درنهایت ساده‌سازی به معادله زیر می‌رسیم که براساس آنها می‌توان روندیابی را انجام داد (Akan, 2006):

$$Q_2 = C_1 I_2 + C_2 I_1 + C_3 Q_1 \quad (8)$$

$$C_1 = \frac{0.5\Delta t - KX}{K - KX + 0.5\Delta t} \quad (9)$$

$$C_2 = \frac{0.5\Delta t + KX}{K - KX + 0.5\Delta t} \quad (10)$$

$$C_3 = \frac{K - KX - 0.5\Delta t}{K - KX + 0.5\Delta t} \quad (11)$$

طبق توصیه (Tewolde and Smithers, 2006) از مقادیر منفی  $C_1$  باید اجتناب شود، اما مقادیر منفی  $C_2$  روی هیدروگراف روندیابی شده تأثیری نمی‌گذارد. با ارضاء رابطه زیر می‌توان از مقادیر منفی  $C_1$  جلوگیری کرد.

$$\Delta t > 2KX \quad (12)$$

از طرف دیگر  $\Delta t$  باید کوچکتر از یک پنج زمان اوج هیدروگراف ورودی باشد که بتواند بازوی بالارونده هیدروگراف را به خوبی نشان دهد (Akan, 2006).

یک مسئله مهم و اساسی در روش ماسکینگام این است که پارامترهای  $X$  و  $K$  مفهوم فیزیکی ندارند و تنها در صورتی می‌توان آنها را برآورد کرد که یک هیدروگراف ورودی و خروجی از یک واقعه سیلان در بازه کanal موجود باشد. این مشکل در روش ماسکینگام-کانتر برطرف شده است و در آن پارامترهای  $X$  و  $K$  براساس خصوصیات فیزیکی بازه کanal بیان شده‌اند:

محاسبه شده است که اولاً مقدار آن با افزایش دبی زیاد شده و در لحظه اوج به حداقل مقدار  $\Delta Q_p$  می‌رسد و ثانیاً اختلاف حجم هیدروگراف خروجی بعد از اضافه کردن  $\Delta Q_i$ ‌ها به آن و هیدروگراف خروجی با پارامترهای متغیر با اختلاف حجم هیدروگراف ورودی و هیدروگراف خروجی به دست آمده با پارامترهای متغیر برابر باشد. مقدار  $\Delta Q_p$  را می‌توان از رابطه (۲۵) محاسبه نمود.

$$\Delta Q_i = \Delta Q_p \left( \frac{Q_i - Q_1}{Q_p - Q_1} \right) \quad 1 \leq i \leq N_p \quad (23)$$

$$\Delta Q_i = \Delta Q_p \left( \frac{Q_i - Q_N}{Q_p - Q_N} \right) \quad N_p \leq i \leq N \quad (24)$$

$$\Delta Q_p = \frac{\Delta V / \Delta t}{\sum_{i=1}^{N_p} \left( \frac{Q_i - Q_1}{Q_p - Q_1} \right) + \sum_{i=N_p+1}^N \left( \frac{Q_i - Q_N}{Q_p - Q_N} \right)} \quad (25)$$

که در روابط (۲۳)، (۲۴) و (۲۵)،  $Q_1$ ،  $Q_p$ ،  $Q_i$ ،  $Q_N$  و  $Q$  به ترتیب دبی هیدروگراف خروجی محاسبه شده با پارامترهای متغیر در شماره‌های  $i$ ،  $N_p$  و  $N$  از داده‌های ثبت شده بر روی زمان می‌باشند و  $N_p$  شماره‌ای است که در آن دبی اوج  $Q_p$  اتفاق می‌افتد و  $N$  تعداد کل داده‌های هیدروگراف خروجی است. در روش ماسکینگام - کائز  $X$  به عنوان فاكتور وزنی تفسیر نمی‌شود و لذا می‌تواند دارای مقادیر منفی نیز باشد (Szel and Gaspar, 2000). Tang et al. (1999) مدلی ارائه داده‌اند که با درنظر گرفتن گرادیان فشار هیدرواستاتیک، پارامترهای روش ماسکینگام-کائز با پارامترهای متغیر اصلاح می‌شوند. مدل آنها نه تنها باعث بهبود هیدروگراف‌های روندیابی شده می‌شود، بلکه خطای برآورد حجم را نیز به کمتر از ۵٪ درصد کاهش می‌دهد، ولی معادلات (۲۳) تا (۲۵) خطای پیوستگی را به طور کامل حذف می‌کنند.

طول بازه کanal در این روش برای تولید نتایج صحیح به شکل زیر محدود می‌شود (Ponce and Theurer, 1982):

$$L \leq 0.5 \left[ a \Delta t + \frac{Q_0}{a T_0 S_0} \right] \quad (26)$$

$$a = \left( \frac{5}{3} - \frac{4}{3} \frac{R_0}{T_0} \sqrt{1+z^2} \right) V_0 \quad (20)$$

همانطور که مشاهده می‌شود ضریب  $V_0$  در معادله (۲۰) با تغییر عمق تغییر می‌کند و همانند ضریب  $V_0$  در رابطه (۱۸) مقدار ثابتی نیست. در این تحقیق از رابطه (۲۰) برای محاسبه سرعت موج استفاده شده است. دبی مرجع  $Q_0$  را می‌توان از رابطه (۲۱) محاسبه نمود که در آن  $I_{min}$  و  $I_{max}$  به ترتیب حداقل و حدکش دبی (Tewolde and Smithers, 2006) هیدروگراف ورودی می‌باشند:

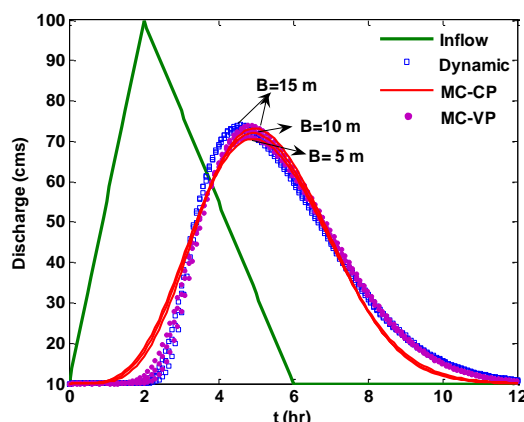
$$Q_0 = I_{min} + 0.5(I_{max} - I_{min}) \quad (21)$$

رونده کار به این ترتیب است که ابتدا دبی مرجع از رابطه (۲۱) محاسبه می‌شود و سپس از رابطه مانینگ مقدار عمق نرمال  $Y_0$  تعیین شده و از آنجا مقادیر  $T_0$ ،  $A_0$ ،  $R_0$  و  $P_0$  بدست می‌آیند. با این داده‌ها سرعت موج از معادله (۲۰)، پارامترهای ماسکینگام  $X$  و  $K$  به ترتیب از روابط (۱۳) و (۱۴) محاسبه می‌شوند. آنگاه ضرایب  $C_1$ ،  $C_2$  و  $C_3$  از روابط (۹) الی (۱۱) تعیین شده و در نهایت مقدار دبی خروجی از معادله (۸) بدست می‌آید. عیب این روش در این است که مقدار دبی مرجع و در نتیجه سرعت موج ثابت است، در حالی که با حرکت روی شاخه بالارونده هیدروگراف، دبی زیاد شده و سرعت موج هم افزایش می‌یابد. این واستگی به دبی مرجع را می‌توان با به کار بردن پارامترهای متغیر از بین برد، به این ترتیب که دبی مرجع در هر گام زمانی توسط رابطه (۲۲) تجدید نظر می‌شود و با این دبی تجدید نظر شده دوباره متغیرهای  $R_0$ ،  $P_0$ ،  $A_0$ ،  $T_0$ ،  $C_1$ ،  $C_2$  و  $C_3$  محاسبه می‌شوند (Ponce and Yevjevich, 1978):

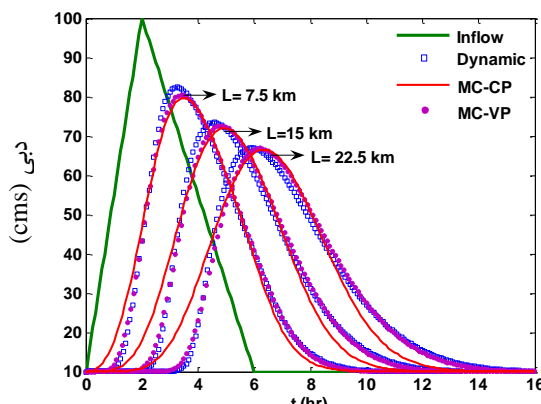
$$Q_0 = \frac{I_{t-1} + I_t + Q_{t-1} + Q_t}{4} \quad (22)$$

که در آن  $Q_0$  خود نیز مجھول بوده و با آزمون و خطای تعیین می‌شود. هرچند که با این عمل محاسبات دقیق‌تر می‌شود، اما چون در هر گام زمانی مقادیر پارامترها عوض می‌شود درصدی خطای معادله پیوستگی ایجاد می‌شود که مقدار آن به شبیه، زبری، طول، عرض و ... بستگی دارد (Tang et al., 1999). برای رفع این مشکل، بعد از محاسبه هیدروگراف خروجی با روش پارامترهای متغیر یک  $\Delta Q_i$  متغیر با زمان مطابق روابط (۲۳) و (۲۴) محاسبه شده و به داده‌های هیدروگراف خروجی اضافه می‌شود.  $\Delta Q_i$  بگونه‌ای

مدلهای ذکر شده برای طول  $22/5$  و  $7/5$  کیلومتر، عرض  $15$  و  $5$  متر، ضریب زبری  $0/045$  و  $0/015$ ، شیب  $0/00075$  و  $0/00025$ ، دبی اوج ورودی  $150$  و  $50$  مترمکعب در ثانیه (هیدروگراف ورودی مثلثی در زمان  $2$  ساعت به دبی اوج  $150$  و  $50$  مترمکعب بر ثانیه رسیده و سپس در مدت  $6$  ساعت به صفر می‌رسد) و زمان دبی اوج رسیده  $3$  و  $1$  ساعت (هیدروگراف ورودی مثلثی در زمان  $3$  و  $1$  ساعت به دبی اوج  $100$  مترمکعب بر ثانیه رسیده و بعد در مدت  $6$  ساعت به صفر می‌رسد) با دیگر پارامترهای ثابت برابر همان مقادیر پایه‌شان نیز اجرا شدند. برای کلیه محاسبات در روندیابی دینامیکی مقادیر  $\Delta t$  و  $\Delta x$  به ترتیب برابر  $100$  متر و  $1$  ساعت در نظر گرفته شدند. همچنین گام زمانی برای روش ماسکینگام-کانثر برابر  $1/0$  ساعت در نظر گرفته شد. شکلهای  $2$  تا  $7$  هیدروگرافهای خروجی تولید شده با روندیابی دینامیکی و روش ماسکینگام-کانثر با پارامترهای ثابت و متغیر را نشان می‌دهند و در هر شکل نتایج برای مقادیر پایه به منظور مقایسه بهتر تکرار شده است.



شکل ۲- اثر تغییر عرض بر هیدروگراف خروجی



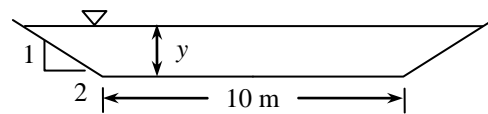
شکل ۳- اثر تغییر طول بر هیدروگراف خروجی

اگر طول کanal از طول مجاز رابطه فوق بیشتر باشد، می‌بایست بازه کanal را به تعدادی بازه‌های کوچکتر تقسیم کرد. برای این مراحل نیز برنامه‌ای در فضای نرمافزار Matlab نوشته شد که با استفاده از آن می‌توان روندیابی به روش ماسکینگام-کانثر را با پارامترهای ثابت (MC-CP) و پارامترهای متغیر (MC-VP) انجام داد. برنامه قادر است تا طول مورد نظر را به تعداد بازه دلخواه تقسیم کند و روندیابی را در هر بازه انجام دهد.

خطاط نشان می‌شود گرچه معادلات روش روندیابی ماسکینگام-کانثر بطریقی مشابه روش ماسکینگام مرتب شده‌اند، اما این دو روش اساساً با یکدیگر تفاوت دارند. روش ماسکینگام یک روش روندیابی هیدرولوژیک است، در حالیکه روش ماسکینگام-کانثر یک روش نیمه هیدرولوژیک است که بر اساس تقریبی از معادلات سنت-وان بنای شده است.

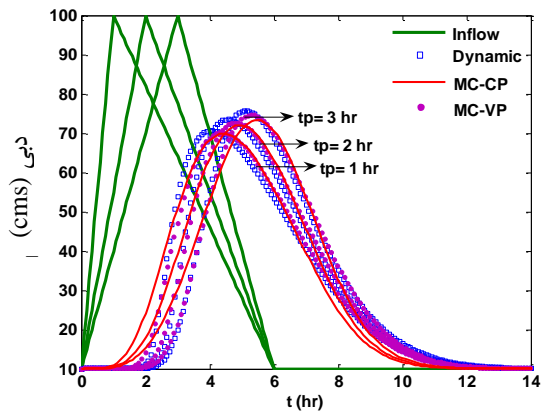
#### ۴- مقایسه ماسکینگام-کانثر و روندیابی دینامیکی

به منظور مقایسه روش ماسکینگام-کانثر و روندیابی دینامیکی لازم است تا پارامترهای پایه تعریف شده و سپس پارامترها را در یک محدوده مشخصی تغییر داد و نتایج هر دو روش را بازاء این پارامترها بدست آورد. پارامترهای ورودی پایه که در این تحقیق از آنها استفاده شده است، دریک محدوده منطقی انتخاب شده‌اند. براین اساس طول  $15$  کیلومتر، عرض  $10$  متر، ضریب زبری  $0/0005$ ، شیب  $0/0003$ ، دبی اوج ورودی  $100$  مترمکعب در ثانیه و زمان وقوع دبی اوج ورودی  $2$  ساعت در نظر گرفته شدند. هیدروگراف ورودی به شکل مثلثی بوده و در زمان دو ساعت به دبی اوج  $100$  مترمکعب بر ثانیه و در مدت  $6$  ساعت به مقدار دبی پایه اولیه می‌رسد. در ضمن مقطع کanal به شکل ذوزنقه‌ای با شیب جانبی برابر  $2H:1V$  است. در شکل ۱ مقطع عرضی کanal ذوزنقه‌ای برای پارامترهای پایه آورده شده است.



شکل ۱- مقطع عرضی کanal ذوزنقه‌ای

بر این اساس، مدل روندیابی دینامیکی و روش ماسکینگام-کانثر برای  $13$  حالت اجرا شدند که یکی از این حالتها، استفاده از پارامترهای پایه به منظور روندیابی است. برای  $12$  حالت دیگر، هریک از پارامترهای ورودی به اندازه  $50$  درصد کم و زیاد شدند. براین اساس،



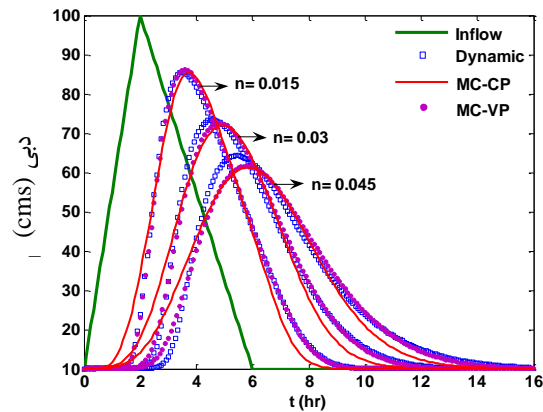
شکل ۷- اثر تغییر زمان اوج ورودی بر هیدروگراف خروجی

نژدیکی‌های رسیدن به اوج، به سمت هیدروگراف خروجی روش ماسکینگام-کانتر با پارامترهای ثابت متمایل شده و آنگاه روی بازوی پایین‌رونده روندیابی دینامیکی پایین می‌آید.

در شکل ۲ با کاهش عرض کanal و ثابت نگه داشتن دیگر پارامترها دبی خروجی از کanal کاهش یافته است، ولی زمان وقوع آن تغییری نکرده است. همچنین موج در زمان کمتری به نقطه خروجی رسیده است. در واقع کاهش عرض کanal باعث افزایش عمق و سرعت در کanal شده و در نتیجه هیدروگراف خروجی با کاهش عرض کanal زودتر شروع شده است. به علاوه افزایش عمق نشان دهنده ذخیره شدن بیشتر آب در کanal می‌باشد و این سبب می‌شود که دبی بیشتری از جریان ذخیره شده و دبی کمتری به خروجی برسد. در نتیجه با کاهش عرض کanal، دبی هیدروگراف خروجی کمتر شده است. البته همانطور که در شکل دیده می‌شود این تفاوت‌ها چندان مشهود نیست.

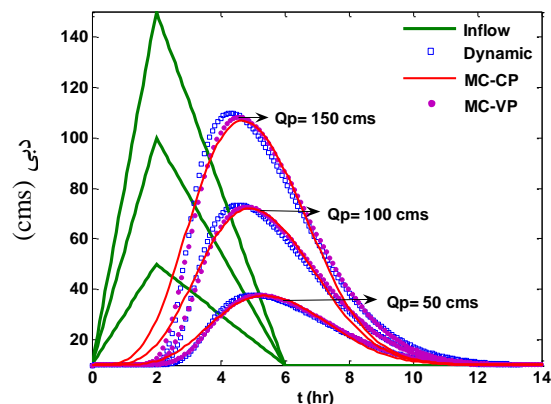
در شکل ۳ مشاهده می‌شود که هرچه طول کanal بیشتر می‌شود دبی اوج کمتر شده و زمان وقوع آن بیشتر می‌گردد. افزایش طول کanal باعث می‌شود که موج، مسافت بیشتری را طی کند و در نتیجه زمان بیشتری را لازم دارد تا به خروجی برسد. دلیل فروکش کردن دبی اوج سیالاب نیز این است که هنگامی که هیدروگراف شروع می‌شود و یک طولی را طی می‌کند، مقداری از حجم سیالاب بسته به شکل کanal، مقدار ضریب زبری و شیب بستر در کanal ذخیره می‌شود و این باعث می‌شود که دبی اوج خروجی کاهش پیدا کند.

هرچه ضریب زبری کanal بزرگتر می‌شود، مطابق رابطه مانینگ، سرعت جریان کمتر شده و عمق آب زیاد می‌گردد. سرعت کمتر

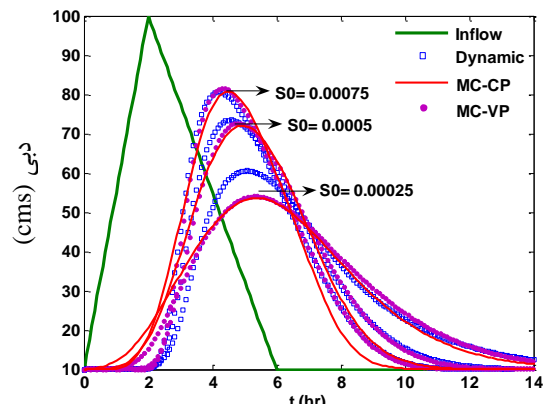


شکل ۴- اثر تغییر زبری بر هیدروگراف خروجی

از شکل‌های رسم شده ۲ تا ۷ می‌توان چنین نتیجه‌گیری نمود که در تمام حالت‌ها بجز در حالتی که شیب کم شده است، هیدروگراف خروجی روش ماسکینگام-کانتر با پارامترهای متغیر روی بازوی بالارونده هیدروگراف خروجی روندیابی دینامیکی حرکت کرده و در



شکل ۵- اثر تغییر دبی اوج ورودی بر هیدروگراف خروجی



شکل ۶- اثر تغییر شیب بر هیدروگراف خروجی

بیشتر سب گردیده است که هیدروگراف خروجی ناشی از هیدروگراف ورودی با زمان اوج سه ساعت دارای دبی اوج بیشتری باشد.

در شکل‌های ۸ تا ۱۱ پارامترهای خروجی روش روندیابی دینامیکی و روش ماسکینگام-کانثر با پارامترهای ثابت و متغیر نسبت به یکدیگر به ترتیب مربوط به دبی اوج خروجی، زمان دبی اوج خروجی، زمان شروع هیدروگراف خروجی و زمان پایه آن رسم شده‌اند. مسلماً هر قدر شیب خط عبوری از بین نقاط به خط با شیب ۴۵ درجه نزدیکتر باشد، اختلاف دو روش کمتر است. همانطور که در شکل‌ها دیده می‌شود، روش ماسکینگام-کانثر با پارامترهای ثابت و متغیر قادر است دبی اوج خروجی و زمان آن و تا حدودی زمان پایه هیدروگراف خروجی را با دقت قابل قبولی پیش‌بینی کند. در ضمن با روش پارامترهای متغیر برآورد بهتری از زمان شروع هیدروگراف خروجی و شکل هیدروگراف خواهیم داشت.

چنانچه در شکل ۸ مشاهده می‌شود روش ماسکینگام-کانثر با پارامترهای متغیر توانسته است دبی اوج سیالاب را در مقایسه با روش دینامیکی با دقت قابل قبولی پیش‌بینی نماید، با این وجود بیشترین تفاوت‌ها در این دو روش به ترتیب مربوط به دو حالت ثابت نگه داشتن دیگر پارامترها، شیب بستر کanal و ضریب زبری به ترتیب نسبت به مقادیر پایه‌شان کم و زیاد شده‌اند. همچنین مطابق شکل در بعضی حالت‌ها هم مقدار دبی اوج خروجی در روش *MC-VP* بیشتر از روش دینامیکی به دست آمده است.

در شکل ۹ دیده می‌شود که در تمام حالت‌ها زمان وقوع دبی اوج سیالاب در روش *MC-VP* بیشتر از روش روندیابی دینامیکی می‌باشد. همچنین از مقایسه شکل‌های ۸ و ۹ در می‌باییم که دقت روش *MC-VP* در پیش‌بینی دبی اوج خروجی بیشتر از دقت آن در پیش‌بینی زمان وقوع دبی اوج سیالاب است.

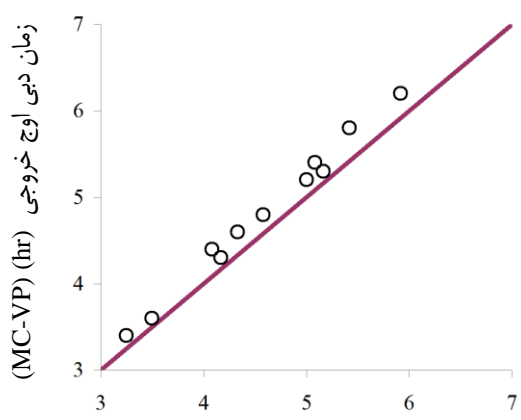
در شکل ۱۰ مشاهده می‌شود که زمان شروع هیدروگراف خروجی (زمانی که طول می‌کشد تا موج به نقطه خروجی برسد) در تمام حالت‌ها در روش *MC-VP* کمتر از روش دینامیکی می‌باشد. باز هم بیشترین تفاوت بین دو روش در پیش‌بینی زمان شروع هیدروگراف خروجی به ترتیب مربوط به دو حالت  $S_0 = 0.00025$  و  $n = 0.045$  می‌باشند. به علاوه از مقایسه شکل‌های ۹ و ۱۰ در می‌باییم که زمانی که موج به نقطه خروجی می‌رسد در روش

باعث می‌شود که موج در زمان بیشتری به نقطه خروجی برسد و در نتیجه مطابق شکل ۴، هیدروگراف خروجی با افزایش ضریب زبری دیرتر شروع می‌شود. به علاوه همانطور که بیان شد افزایش عمق باعث می‌شود که دبی بیشتری از جریان در کanal ذخیره شده و دبی کمتری به نقطه خروجی برسد. در نتیجه افزایش ضریب زبری دبی اوج هیدروگراف خروجی را کاهش می‌دهد.

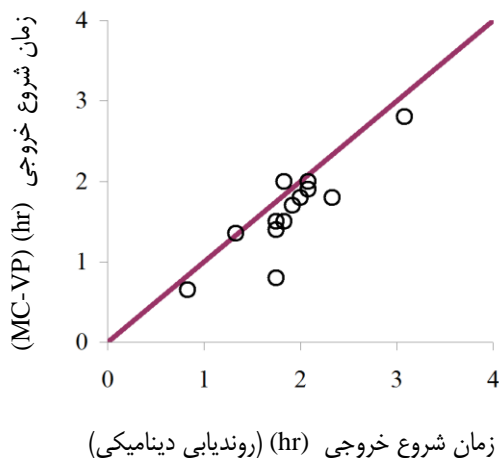
کاهش شیب در کanal و افزایش ضریب زبری از نظر تأثیرشان بر دبی اوج هیدروگراف خروجی و زمان رخداد آن مشابه هستند، هرچند که اندازه اثر آنها یکسان نیست. به این معنی که کاهش شیب در کanal و افزایش ضریب زبری هر دو باعث کاهش دبی خروجی و افزایش زمان رخداد سیل می‌شوند. ولی از مقایسه شکلهای ۴ و ۶ در می‌باییم که تأثیر کاهش شیب بستر کanal بر کاهش دبی خروجی بیشتر از تأثیر افزایش ضریب زبری بر کاهش دبی خروجی می‌باشد. همچنین بطور بالعکس می‌توان گفت که تأثیر کاهش شیب بستر بر افزایش دبی اوج خروجی کمتر از تأثیر افزایش ضریب زبری بر افزایش زمان رخداد دبی اوج خروجی است.

در شکل ۵ دیده می‌شود که هرچه بازوی بالارونده هیدروگراف ورودی دارای شیب تندری باشد، بازوی بالارونده هیدروگراف خروجی مطابق با آن نیز دارای شیب تندری خواهد بود. به علاوه چون در یک زمان مشابه، هیدروگراف دارای دبی بیشتر سرعت بالاتری هم دارد باعث می‌شود که موج شکل گرفته از آن نیز زودتر به محل خروجی برسد، بنابراین همانطور که در شکل دیده می‌شود هیدروگراف خروجی که دارای دبی اوج ورودی ۱۵۰ مترمکعب بر ثانیه بوده است در زمان زودتری به وقوع پیوسته است. به هر حال چون در این حالت حجم سیالاب در هریک از هیدروگراف‌ها متفاوت است، حجم سیالاب‌های خروجی هم متفاوت خواهد بود.

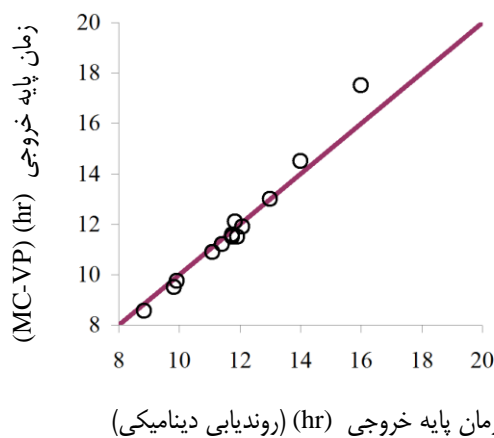
در شکل ۷ حجم سیالاب در هریک از سه هیدروگراف ورودی با زمان‌های اوج متفاوت یکسان است. هیدروگراف با زمان وقوع یک ساعت دارای شیب بازوی بالارونده تندری است، ولی بازوی بالارونده هیدروگراف‌های خروجی تغییر چندانی نکرده است. چون در یک زمان مشابه هیدروگراف ورودی که زودتر به وقوع پیوسته است دارای دبی بیشتری می‌باشد سرعت موج آن نیز بالاتر بوده و بنابراین زودتر به محل خروجی رسیده است. هیدروگرافی که پس از سه ساعت به اوج خود رسیده است حجم بیشتری از سیالاب را تا زمان وقوع اوج خود نسبت به هیدروگرافی که پس از یک ساعت به نقطه اوج خود رسیده است منتقل می‌کند و منتقل کردن حجم سیالاب



شکل ۹- مقایسه زمان وقوع دبی اوج خروجی دو روش روندیابی دینامیکی و MC-VP



شکل ۱۰- مقایسه زمان شروع هیدرولگراف خروجی از دو روش روندیابی دینامیکی و MC-VP

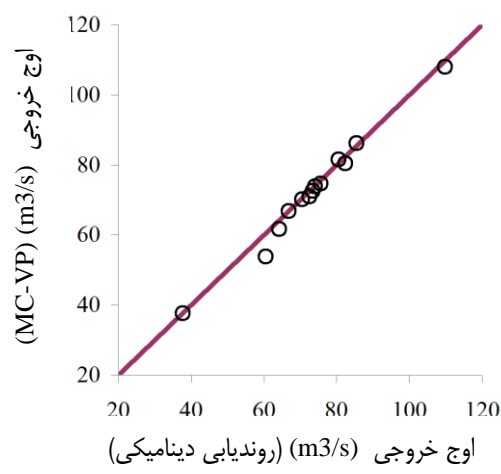


شکل ۱۱- مقایسه زمان پایه هیدرولگراف خروجی از دو روش روندیابی دینامیکی و MC-VP

کمتر از روش دینامیکی است و زمان وقوع دبی اوج سیالاب در روش MC-VP بیشتر از روش دینامیکی می‌باشد. این بدین معنی است که شبیه بازوی بالارونده هیدرولگراف خروجی در روش دینامیکی تند تر از روش MC-VP است و این اختلاف شبیه برای حالت‌هایی که شبیه بستر کاهش و ضریب زبری افزایش می‌یابند، بیشتر می‌شود.

مطابق شکل ۱۱ بازهم بیشترین تفاوت در پیش‌بینی زمان پایه هیدرولگراف بین دو روش MC-VP و روش دینامیکی به ترتیب مربوط به دو حالت  $S_0 = 0.00025$  و  $n = 0.045$  می‌باشد و در بقیه حالات تفاوت چندانی از این نظر بین دو روش وجود ندارد. از این نکته چنین برداشت می‌شود که در مواردی که شبیه بستر کاهش و ضریب زبری افزایش می‌یابند، هیدرولگراف خروجی دچار پخشیدگی بیشتری می‌شود. البته این پخشیدگی در حالتی که شبیه کم می‌شود بیشتر از حالتی است که ضریب زبری زیاد می‌گردد.

مقایسه‌ای از دبی اوج هیدرولگراف خروجی بین روندیابی دینامیکی و روش ماسکینگام-کائز با پارامترهای ثابت توسط Merkel (2002) انجام شده است. در این تحقیق بعد از انجام ۷۷ آزمایش از حالات مختلف شکل کanal، شبیه و زبری این نتیجه حاصل شده است که تنها سه آزمایش درصد خطای ۱۵ تا ۱۹ درصد و ۱۴ آزمایش نیز خطای ۱۰ تا ۱۴ درصد داشتند. خطای ۶۰ آزمایش باقیمانده کمتر از ۱۰ درصد بوده است.



شکل ۸- مقایسه دبی اوج خروجی دو روش روندیابی دینامیکی و MC-VP

## جدول ۱ - مقادیر دبی اوج هیدروگراف خروجی و زمان رخداد آن در روش روندیابی دینامیکی

زمان اوج خرجی (ساعت)	دبی اوج خروجی (مترمکعب در ثانیه)	مقادیر پارامترها
۴/۵۸۳	۷۳/۴۲۹	مقادیر پایه
۵/۹۱۷	۶۶/۹۱۴	طول ۲۲/۵ کیلومتر
۳/۲۵	۸۲/۴۱۷	طول ۷/۵ کیلومتر
۴/۵۸۳	۷۴/۰۸۶	عرض ۱۵ متر
۴/۵۸۳	۷۲/۶۰۷	عرض ۵ متر
۵/۴۱۷	۶۴/۲۵۷	زبری ۰/۰۴۵
۳/۵	۸۵/۴۸۹	زبری ۰/۰۱۵
۴/۵۸۳	۷۳/۴۲۹	شیب ۰/۰۰۷۵
۵/۹۱۷	۶۶/۹۱۴	شیب ۰/۰۰۲۵
۴/۲۵	۸۲/۴۱۷	دبی اوج ورودی ۱۵۰ مترمکعب بر ثانیه
۴/۵۸۳	۷۴/۰۸۶	دبی اوج ورودی ۵۰ مترمکعب بر ثانیه
۴/۵۸۳	۷۲/۶۰۷	زمان اوج ورودی ۳ ساعت
۵/۴۱۷	۶۴/۲۵۷	زمان اوج ورودی ۱ ساعت

برای بررسی تحلیل حساسیت نسبی هر یک از پارامترهای ورودی بر روی پارامترهای خروجی، شاخص حساسیت تعريف شده در رابطه (۲۷) نیز محاسبه شد. مقادیر این شاخص برای هریک از پارامترهای ورودی در جدول ۲ ارائه شده است. علامت منفی در جدول به منزله کوچکتر شدن مقدار خروجی به ازاء بزرگتر نمودن پارامتر ورودی می‌باشد. نتایج حاصل از جدول ۲ را می‌توان به شرح زیر ارائه نمود.

۱- تغییر در دبی اوج هیدروگراف ورودی بیشترین تأثیر را بر روی دبی اوج هیدروگراف خروجی می‌گذارد.

۲- پس از دبی اوج ورودی، پارامترهای ضریب زبری و شیب بستر تأثیر نسبتاً یکسانی را ببروی دبی اوج خروجی نشان می‌دهند. البته افزایش ضریب زبری و شیب به ترتیب باعث کاهش و افزایش دبی اوج خروجی شده‌اند.

۳- پارامترهای عرض کanal و زمان وقوع دبی اوج ورودی اثر چندانی بر روی دبی اوج خروجی نمی‌گذارند. البته این تأثیر کم برای زمان دبی اوج ورودی کمی بیشتر از عرض کanal است.

۴- بیشترین پارامترهای مؤثر بر روی زمان وقوع دبی اوج خروجی، طول کanal و پس از آن ضریب زبری می‌باشند و افزایش هر یک، زمان رخداد دبی اوج خروجی را زیاد می‌کنند.

## ۵- تحلیل حساسیت پارامترهای روندیابی دینامیکی

تحلیل حساسیت به منظور معرفی حساسیت نتایج خروجی مدل بر اساس تغییرات پارامترهای ورودی آن یکی از موضوعات قابل توجه است. همچنین تحلیل حساسیت برای معرفی سطح عدم قطعیت در پیش‌بینی مدل در مقایسه با عدم قطعیت موجود در تخمین پارامترها بکار می‌رود. شاخص حساسیت به شکل رابطه زیر می‌تواند برای تعیین میزان حساسیت نتایج خروجی مدل نسبت به تغییر در پارامترهای ورودی مورد استفاده قرار گیرد:

$$SI = \left( \frac{O_2 - O_1}{O_{ave}} \right) / \left( \frac{I_2 - I_1}{I_{ave}} \right) \quad (27)$$

که در این رابطه SI شاخص حساسیت،  $I_1$  و  $I_2$  به ترتیب کوچکترین و بزرگترین مقدار پارامتر ورودی،  $I_{ave}$  متوسط  $I_1$  و  $I_2$ ،  $O_1$  و  $O_2$  مقدادر خروجی متناظر با  $I_1$  و  $I_2$  و بالاخره  $O_{ave}$  متوسط  $O_1$  و  $O_2$  می‌باشدند. نتایج خروجی مدل در قالب دبی اوج هیدروگراف خروجی و زمان وقوع آن در نظر گرفته شده‌اند. مقادیر دبی اوج هیدروگراف خروجی و زمان رخداد آن برای روش روندیابی دینامیکی در جدول ۱ آمده است. نتایجی که از این جدول می‌توان برداشت کرد، عبارتند از:

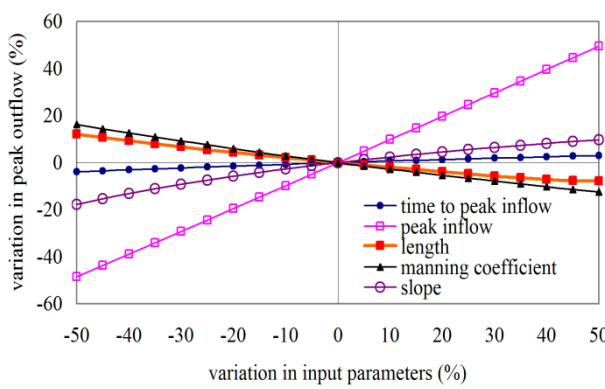
۱- افزایش پارامترهای طول و ضریب زبری نسبت به پارامتر پایه، باعث کاهش دبی اوج هیدروگراف خروجی و افزایش زمان وقوع آن شده است و بر عکس کاهش آنها، دبی اوج هیدروگراف خروجی را افزایش و زمان رخداد آن را کاهش داده است.

۲- افزایش پارامترهای عرض، شیب و دبی اوج ورودی، دبی اوج خروجی را افزایش می‌دهد و بر عکس کاهش این پارامترها دبی اوج خروجی را کم می‌کند.

۳- با کم و زیاد کردن عرض، زمان وقوع دبی اوج خروجی تغییری نمی‌کند.

۴- افزایش پارامترهای شیب و دبی اوج ورودی، زمان وقوع دبی اوج خروجی را کم می‌کند و بر عکس کاهش آنها باعث افزایش زمان رخداد دبی اوج خروجی می‌شود.

۵- با افزایش زمان وقوع دبی اوج ورودی، دبی اوج خروجی و زمان رخداد آن نیز افزایش یافته و با کاهش آن، دبی اوج خروجی و زمان آن هردو کم می‌شوند.



شکل ۱۲- درصد تغییر در دبی اوج هیدروگراف خروجی نسبت به درصد تغییر در پارامترهای ورودی

چنانچه در شکل مشاهده می‌شود، تغییر دادن خطی پارامترهای ورودی باعث تغییرات خطی در دبی اوج هیدروگراف خروجی نمی‌شود و تغییرات آن به شکل منحنی است.

۵- بعد از طول و ضریب زبری، پارامترهای زمان دبی اوج ورودی، شبیب بستر و دبی اوج ورودی به ترتیب تأثیر بیشتری بر روی زمان رخداد دبی اوج خروجی نشان می‌دهند.

۶- تغییر در عرض کanal، زمان وقوع دبی اوج هیدروگراف خروجی را تغییر نمی‌دهد.

## جدول ۲- مقادیر شاخص حساسیت پارامترهای ورودی با دبی اوج خروجی و زمان وقوع آن

پارامترها	دبی اوج خروجی	زمان اوج خروجی
طول	-۰/۲۰۸	.۰/۵۸۲
عرض	.۰/۰۲	.
زبری	-۰/۲۸۴	.۰/۴۳۰
شبیب	.۰/۲۸۴	-۰/۱۹۸
دبی اوج ورودی	.۰/۹۷۶	-۰/۱۴۳
زمان اوج ورودی	.۰/۰۷	.۰/۲۳۴

لازم به توضیح است که شاخص‌های حساسیت محاسبه شده، صرفاً شاخص‌هایی در فضای ریاضی است و نمی‌تواند معیار صحیحی از میزان عدم قطعیت نتایج خروجی بعلت عدم قطعیت موجود در پارامترهای ورودی ارائه کند. بررسی این موضوع نیاز به تجزیه و تحلیل عدم قطعیت و یا در شکل ساده‌تر آن تغییر پارامترها در محدوده قابل قبول وقوع شان دارد، که خود تحقیق جامع دیگری را طلب می‌کند. به هر حال، کسانی که در زمینه مدل‌سازی ریاضی این‌گونه پدیده‌ها کار می‌کنند به این موضوع واقف‌اند که اهمیت شاخص‌های جدول ۳ در این است که می‌بایست پارامترهای با شاخص حساسیت بالا را در فرآیند واستنجی پارامترها دخالت داد.

در این مقاله با استفاده از حل عددی معادلات یک بعدی سنت-ونان، روش روندیابی دینامیکی به عنوان یک روش پیش‌بینی موج سیلان انجام گردید. همچنین روش ماسکینگام-کائز با پارامترهای ثابت و متغیر که در آن پارامترهای روش ماسکینگام براساس خصوصیات فیزیکی بازه کanal بیان می‌شوند نیز بکار گرفته شد و به عنوان یک روش ساده‌تر نسبت به روندیابی دینامیکی با آن مقایسه گردید. درنهایت این نتیجه حاصل گردید که روش ماسکینگام-کائز بجز در شبیه‌های کم در مقایسه با روش روندیابی دینامیکی می‌تواند دبی اوج هیدروگراف خروجی و زمان وقوع آنرا با دقت قابل قبولی پیش‌بینی کند. همچنین، اگر از هیدروگراف خروجی، دبی اوج و زمان وقوع آن دارای اهمیت باشند، چنانچه مشاهده شد تفاوت چندانی بین این دو پارامتر از روش‌های *MC-CP* و *MC-VP* نیست و تنها برتری روش *MC-VP* در برآورد بهتر شکل هیدروگراف خروجی است.

انجام تحلیل حساسیت روی پارامترهای خروجی روندیابی دینامیکی یعنی دبی اوج هیدروگراف خروجی و زمان وقوع آن نشان می‌دهد که دبی اوج هیدروگراف ورودی و بعد از آن زبری و شبیب تأثیر بسزایی روی دبی اوج هیدروگراف خروجی می‌گذارند. همچنین طول کanal و پس از آن زبری عوامل مؤثر در زمان وقوع دبی اوج خروجی بشمار می‌روند و این پارامترها باید در فرآیند کالیبراسیون پارامترها اعمال شوند.

برای محاسبه مقادیر شاخص حساسیت جدول ۲، هریک از پارامترهای ورودی به میزان ۵۰ درصد کم و زیاد شدند. اما به منظور درک بیشتر، در این قسمت هریک از پارامترهای ورودی (به جز عرض که تأثیر چندانی روی دبی اوج هیدروگراف خروجی ندارد)، به اندازه ۵ درصد نسبت به مقادیر پایه‌شان کم و زیاد شده‌اند و تأثیر آنها روی دبی اوج هیدروگراف خروجی بررسی شده است. در شکل ۱۲ درصد تغییر در دبی اوج هیدروگراف خروجی نسبت به درصد تغییر در پارامترهای ورودی برای روش روندیابی دینامیکی رسم شده است.

- Chow V.T., Maidment D.R. and Mays L.W. (1988). *Applied Hydrology*, McGraw-Hill International Editions.
- Julien P.Y. (2002). *River Mechanics*, Cambridge University Press, The Edinburgh Building, Cambridge CB2 2RU, UK.
- Merkel W.H. (2002). "Muskingum-Cunge flood routing procedure in NRCS Hydrologic Models", Presented at the second Federal Intragency Hydrologic Modeling Conference.
- Nourani, V. and Mano, A. (2007). "Semi-distributed flood runoff model at the sub continental scale for SouthWestern Iran", *Hydrological Processes*, Vol. 21, pp. 3173-3180.
- Ponce, V.M. and Theurer, F.D. (1982). "Accuracy criteria in diffusion routing", *Journal of the Hydraulic Division, ASCE*, Vol. 108, pp. 747-757.
- Ponce, V.M. and Yevjevich, V. (1978). "Muskingum-cunge method with variable parameters", *Journal of the Hydraulic Division, ASCE*, Vol. 104 (HY12), pp. 1663-1667.
- Singh V.P. (1988). *Hydrologic Systems: Rainfall-Runoff Modelling*, Prentice Hall, Englewood Cliffs, New Jersey.
- Szel S. and Gaspar C. (2000). "On the negative weighting factors in the muskingum-cunge scheme", *Journal of Hydraulic Research*, Vol. 38 (4), pp. 299-306.
- Tang X.N., Knight D.W. and Samuels P.G. (1999). "Volume conservation in variable parameter muskingum-cunge method", *Journal of Hydraulic Engineering*, Vol. 125 (6), pp. 610-620.
- Tewolde M.H. and Smithers J.C. (2006). "Flood routing in unguagrd catchments using muskingum methods", Available on website <http://www.wrc.org.za>.
- در نهایت، همانطور که بیان شد در تمام حالت‌های بررسی شده در این تحقیق بجز در حالتی که شبکه کم شده است، هیدروگراف خروجی روش ماسکینگام-کائز با پارامترهای متغیر روی بازوی بالارونده هیدروگراف خروجی روندیابی دینامیکی حرکت کرده و در نزدیکیهای رسیدن به اوج، به سمت هیدروگراف خروجی روش ماسکینگام-کائز با پارامترهای ثابت متمایل شده و آنگاه روی بازوی پایین رونده روندیابی دینامیکی پایین می‌آید. بنابراین به عنوان تحقیقات بیشتر می‌توان روی اصلاح روش ماسکینگام-کائز با پارامترهای متغیر کار کرد ت اینکه اولاً در شبکه‌های کم هم بتواند با دقت قابل قبولی هیدروگراف خروجی را برآورد نماید و ثانیاً در نزدیکیهای اوج هم روی هیدروگراف خروجی روندیابی دینامیکی حرکت نماید.
- به علاوه در این تحقیق هیدروگراف‌های ورودی به صورت فرضی و به شکل مشابه بر روی یک رودخانه فرضی درنظر گرفته شده‌اند. تحلیل هیدروگراف‌های مشاهداتی واقعی بر روی یک رودخانه واقعی می‌تواند نتایج این تحقیق را کامل‌تر و دقیق‌تر ارائه نماید.
- در این تحقیق، اثر تغییر یک پارامتر با ثابت نگه داشتن دیگر پارامترها روی نتایج هیدروگراف خروجی تحلیل شده است. به عنوان مطالعات بیشتر می‌توان دو یا تعداد بیشتر پارامتر را بطور همزمان تغییر داد و تأثیر آن را روی شکل هیدروگراف خروجی بررسی نمود و در نهایت نتایج را از این نظر مورد تحلیل و بحث هیدرولیکی قرار داد.
- در نهایت می‌توان روی ارائه یک رابطه برای تحلیل حساسیت پارامترها در حالتی که دو یا چند پارامتر بطور همزمان تغییر داده می‌شوند کار کرد.

## ۶- مراجع

- Akan S. (2006). *Open Channel Hydraulics*, ButterWorth, Heinemann, Elsevier Ltd., Oxford, Burlington, MA01803.